

## การวิเคราะห์ปริมาณกรดไขมันอิสระ ไตร ได และโมโนกลีเซอไรด์ ในเอทิลไบโอดีเซล จากแอสிடออยล์ของอุตสาหกรรมน้ำมันรำข้าว

คณิตา กิตติรัตนไพบูลย์<sup>1</sup> กษมพล ศักดิ์การินทร์กุล<sup>2</sup> และ คณิต กฤษณ์งู<sup>3</sup>  
มหาวิทยาลัยเทคโนโลยีพระจอมเกล้าธนบุรี ท่าข้าม บางขุนเทียน กรุงเทพฯ 10150

รับเมื่อ 14 กุมภาพันธ์ 2551 ตอบรับเมื่อ 3 ตุลาคม 2551

### บทคัดย่อ

วิธีการทางโครมาโตกราฟีแรงดันสูงแบบแยกตามขนาดต่อพ่วงด้วยเครื่องตรวจวัดแบบอีแวพออเรทีฟไลท์สแคทเทอริง (Evaporative Light Scattering Detector; ELSD) ได้ถูกพัฒนาขึ้นเพื่อใช้ในการวิเคราะห์ ไตร- ได- และ โมโนกลีเซอไรด์ (bound glycerols) กรดไขมันเอทิลเอสเทอร์ และกรดไขมันอิสระในไบโอดีเซล การแยกสารประกอบในไบโอดีเซลโดยใช้คอลัมน์ phenogel 100 Å ขนาด 300 mm X 7.8 mm ID, 5µm ที่มีวัฏภาคเคลื่อนที่ผสมของร้อยละ 0.5 เตตระไฮโดรฟูแลน (THF) ในโทลูอีน ให้ผลดีกว่าการใช้ THF หรือโทลูอีนเพียงอย่างเดียว เมื่อใช้ตัวทำละลายชนิดอื่นผสมในโทลูอีนแทน THF เช่น อะซิโตน ไดคลอโรมีเทน เอทิลอะซิเตต หรือกรดอะซิติก พบว่าสารประกอบในไบโอดีเซลทุกตัวสามารถแยกได้ถึงเส้นฐานเช่นเดียวกัน แต่ร้อยละ 0.25 กรดอะซิติกในโทลูอีนเป็นวัฏภาคเคลื่อนที่ที่ดีที่สุด จึงถูกนำมาใช้ในการหาค่าประกอบของไบโอดีเซลที่ได้จากแอสிடออยล์จากน้ำมันรำข้าว ซึ่งได้จากการทำปฏิกิริยาแบบขั้นตอนเดียวโดยมีกรดซัลฟูริกเป็นตัวเร่งปฏิกิริยา อุณหภูมิที่ใช้คือ 75 °C และพบว่าที่อัตราส่วนโมลของกรดไขมันอิสระต่อเอทานอลเท่ากับ 1:480 จะให้ผลผลิตไบโอดีเซลสูงที่สุดคือประมาณร้อยละ 98 ภายในเวลา 30 นาที

**คำสำคัญ :** กรดไขมันอิสระ / กลีเซอไรด์ / โครมาโตกราฟีแรงดันสูงแบบแยกตามขนาด / ไบโอดีเซล / แอสிடออยล์จากน้ำมันรำข้าว

<sup>1</sup> นักวิจัย สายวิชาเทคโนโลยีชีวเคมี คณะทรัพยากรชีวภาพและเทคโนโลยี

<sup>2</sup> นักศึกษาระดับบัณฑิตศึกษา สายวิชาเทคโนโลยีชีวภาพ คณะทรัพยากรชีวภาพและเทคโนโลยี

<sup>3</sup> รองศาสตราจารย์ สายวิชาเทคโนโลยีชีวเคมี คณะทรัพยากรชีวภาพและเทคโนโลยี

## Determination of FFA, Tri-, Di-, and Monoglycerides in Ethyl Biodiesel from Acid Oil of Rice Bran Oil Refinery

Kanisa Kittiratanapiboon<sup>1</sup>, Kasamapol Sakkarinukul<sup>2</sup>, and Kanit Krisnangkura<sup>3</sup>

King Mongkut's University of Technology Thonburi, Thakham, Bangkhuntien, Bangkok 10150

*Received 14 February 2008 ; accepted 3 October 2008*

### Abstract

A Method of high performance size exclusion chromatography (HPSEC) with evaporative light-scattering detector was developed for analysis of tri-, di-, and monoglyceride (bound glycerols) fatty acid ethyl ester and free fatty acids in biodiesel. The separation of the analytes on a phenogel 100Å column (300 mm X 7.8 mm ID, 5µm) eluted with toluene containing 0.5 % tetrahydrofuran (THF) is better than straight THF or toluene. Baseline separation of all the above solutes can also be achieved when acetone, dichloromethane, ethyl acetate or acetic acid is used in place of THF. However, 0.25% acetic acid in toluene was found to be the best mobile phase modifier. Ethyl biodiesels of rice bran acid oil which were derived from simultaneous esterification and transesterification of the acid oil with sulfuric acid at 75°C at different molar ratios of FFA:ethanol (between 1:25 to 1:480) were analyzed by HPSEC eluted with 0.25% acetic acid in toluene. The results show that about 98% FAEEs (biodiesel) could be obtained in less than 30 min at 1:480 molar ratio of FFA:ethanol.

**Keywords** : Free Fatty Acid / Glycerides / High Performance Size Exclusion Chromatography (HPSEC) / Biodiesel / Rice Bran Acid Oil

<sup>1</sup> Research Scientist, Division of Biochemical Technology, School of Bioresources and Technology.

<sup>2</sup> Graduated Student, Division of Biotechnology, School of Bioresources and Technology.

<sup>3</sup> Associate Professor, Division of Biochemical Technology, School of Bioresources and Technology.

## 1. บทนำ

ไบโอดีเซลได้เข้ามามีบทบาทสำคัญในแง่ของพลังงานทดแทนน้ำมันดีเซล เนื่องจากไบโอดีเซลมีคุณสมบัติทางเคมี-ฟิสิกส์ เช่น ค่าซีเทน (cetane number) ค่าความร้อน (heat content) ความหนืด, จุดหมอก (cloud point) จุดไหลเท (pour point) นั้นใกล้เคียงกับน้ำมันดีเซลหมายเลขหมุนเร็ว ไบโอดีเซลสามารถผลิตจากวัตถุดิบหมุนเวียน (renewable) และผลิตได้ในปริมาณมากย่อยสลายง่ายและไม่เป็นพิษต่อมนุษย์ [1-3] การผลิตไบโอดีเซลทั่วโลกมีปริมาณเพิ่มขึ้นทุกปี ในปี 2005 มีปริมาณการผลิตถึง 3,500 ล้านลิตร คิดเป็นร้อยละ 2 ของปริมาณดีเซลที่ใช้ในระบบการขนส่ง และคาดว่าปริมาณการใช้จะเพิ่มเป็นร้อยละ 5.75 ในปี 2010 [4, 5]

ราคาต้นทุนของน้ำมันพืชหรือไขมันสัตว์บริสุทธิ์ที่ใช้ในการผลิตไบโอดีเซลคิดเป็นร้อยละ 70-95 ของราคาต้นทุน ทั้งนี้ขึ้นอยู่กับวัตถุดิบที่นำมาใช้ วัตถุดิบมีผลต่อราคาของไบโอดีเซลอย่างมากและส่งผลให้ไบโอดีเซลที่ผลิตได้มีราคาสูงกว่าราคาของน้ำมันปิโตรเลียม ดังนั้นจึงได้มีการพยายามหาแหล่งวัตถุดิบชนิดอื่นที่มีราคาถูกกว่ามาใช้ในการผลิตไบโอดีเซล เช่น น้ำมันพืชและไขมันสัตว์ใช้แล้ว หรือน้ำมันพืชคุณภาพต่ำชนิดอื่น เช่น น้ำมันรำข้าวหรือน้ำมันเมล็ดยางพารา ที่ไตรกลีเซอไรด์บางส่วนถูกไฮโดรไลซ์โดยเอนไซม์ไลเปสไปเป็นกรดไขมันอิสระ [6]

แอซิดออยล์ซึ่งเป็นผลพลอยได้จากขั้นตอนการกำจัดกรดไขมันอิสระในกระบวนการทำน้ำมันดิบให้บริสุทธิ์โดยวิธีทางเคมี เป็นวัตถุดิบอีกชนิดหนึ่งที่น่าสนใจ เนื่องจากแอซิดออยล์ประกอบด้วยกรดไขมันอิสระและกลีเซอไรด์ (ไตร- ได- และโมโนกลีเซอไรด์) ประมาณร้อยละ 95 ซึ่งพบว่าทั้งกรดไขมันอิสระและกลีเซอไรด์เป็นสารตั้งต้นที่ดีสำหรับการผลิตไบโอดีเซล ปกติแอซิดออยล์จะถูกขายให้กับโรงงานอาหารสัตว์ในราคาถูก ดังนั้นถ้าสามารถนำแอซิดออยล์มาเป็นวัตถุดิบ ก็จะสามารถลดต้นทุนการผลิตไบโอดีเซลลง และยังเป็นการช่วยโรงงานผลิตน้ำมันพืชเพื่อการบริโภคในการกำจัดแอซิดออยล์ [7]

ในปี 2003, Hass และคณะ [8] ได้นำแอซิดออยล์จากน้ำมันถั่วเหลืองมาเป็นวัตถุดิบในการผลิตไบโอดีเซล แอซิดออยล์ที่ใช้ประกอบด้วย กรดไขมันอิสระร้อยละ 59.3, ไตรกลีเซอไรด์ร้อยละ 28.0, โดกลีเซอไรด์ร้อยละ 2.6, และ

โมโนกลีเซอไรด์น้อยกว่าร้อยละ 1 โดยใช้อัตราส่วนของกรดไขมันอิสระ:เมทานอล:กรดซัลฟูริก เท่ากับ 1:15:1.5 อุณหภูมิที่ใช้คือ 65 องศาเซลเซียส เป็นเวลา 26 ชั่วโมง ได้ผลผลิตไบโอดีเซลเพียงแค่อ้อยละ 85 และที่เหลือเป็นกรดไขมันอิสระและสารกลีเซอไรด์ที่ไม่ได้ทำปฏิกิริยา ซึ่งถือเป็นปริมาณที่ค่อนข้างสูง จากการทดลองของ Freedman และคณะ [9] พบว่าอัตราเร็วของการเกิดปฏิกิริยาทรานเอสเทอร์ฟิเคชันในเมทิลและเอทิลแอลกอฮอล์ใกล้เคียงกัน แต่การใช้เอทิลแอลกอฮอล์จะมีข้อดีกว่าคือ เป็นสารที่สามารถผลิตได้จากผลิตภัณฑ์ทางการเกษตร ไม่เป็นพิษ และเอทิลเอสเทอร์ที่ได้จะมีค่าความร้อนและค่าซีเทนสูงกว่าเมทิลเอสเทอร์

ไบโอดีเซลได้จากการทำปฏิกิริยาของไตรกลีเซอไรด์ (น้ำมันพืชหรือไขมันสัตว์) กับแอลกอฮอล์สายสั้น เช่น เมทานอล, เอทานอล ผ่านปฏิกิริยาทรานเอสเทอร์ฟิเคชัน โดยมีกรดหรือด่างเป็นตัวเร่งปฏิกิริยา ปฏิกิริยาประกอบด้วย 3 ขั้นตอน มีโดกลีเซอไรด์และโมโนกลีเซอไรด์เป็นสารตัวกลาง ถ้าปฏิกิริยาเกิดไม่สมบูรณ์จะสามารถพบไตรกลีเซอไรด์, โดกลีเซอไรด์, โมโนกลีเซอไรด์ หรือเรียกรวมว่า bound glycerols ในผลิตภัณฑ์สุดท้าย รวมทั้งกรดไขมันอิสระที่มาจากวัตถุดิบหรือเกิดจากการไฮโดรไลซิสน้ำมันสารปนเปื้อนดังกล่าวอาจก่อให้เกิดปัญหาเกี่ยวกับเครื่องยนต์เช่น การอุดตันของหัวฉีด การสึกกร่อนของเครื่องยนต์เนื่องจากกรดไขมันอิสระ หรือเกิดการปลดปล่อยสารพิษ เช่น acrolein สู่อากาศ จึงทำให้ในหลายๆ ประเทศได้มีการกำหนดปริมาณสูงสุดของ bound glycerols และกรดไขมันอิสระ ที่จะมีได้ในไบโอดีเซลไว้ในมาตรฐาน ดังนั้นวิธีการวิเคราะห์สารปนเปื้อนข้างต้นที่ง่ายและน่าเชื่อถือจึงเป็นสิ่งจำเป็นต่อการพัฒนาไบโอดีเซล Thin-Layer Chromatography-Flam Ionization Detector; TLC-FID เป็นวิธีแรกๆ ที่ใช้ในการวิเคราะห์หาองค์ประกอบในไบโอดีเซล [10] มีรายงานการใช้ High Performance Chromatography; HPLC ทั้งชนิด Reverse Phase-HPLC และ High Performance Size Exclusion Chromatography; HPSEC ในการแยกและวิเคราะห์หาปริมาณของกรดไขมันอิสระ, bound glycerols และองค์ประกอบอื่นๆ ในไบโอดีเซล ข้อดีของวิธีนี้คือสามารถวิเคราะห์โดยไม่ต้องเปลี่ยนสารตัวอย่างให้อยู่ในรูปอนุพันธ์ สำหรับ RP-HPLC

ทั้งแบบ isocratic และ gradient elution สามารถใช้แยกกรดไขมันอิสระ และ bound glycerols แต่การวิเคราะห์สารประกอบด้วยวิธีนี้ค่อนข้างยุ่งยาก เนื่องจากการแยกสารออกเป็นแต่ละชนิดของสาร ไม่ได้แยกออกตามกลุ่มของสาร ทำให้ยากต่อการวิเคราะห์เอกลักษณ์สาร ซึ่งต้องใช้ผู้ชำนาญในการวิเคราะห์ [11-12] ส่วนการใช้ HPSEC ที่อาศัยหลักการการแยกสารตามมวลโมเลกุล ก็ถูกนำมาใช้ในการวิเคราะห์องค์ประกอบของไบโอดีเซลเช่นเดียวกัน ข้อดีของการใช้ HPSEC คือสามารถแยกสารประกอบในไบโอดีเซลออกตามกลุ่มของสาร ทำให้ง่ายต่อการวิเคราะห์เอกลักษณ์และหาปริมาณ [13-16] แต่ข้อเสียของวิธีนี้คือจะต้องใช้คอลัมน์มากกว่าหนึ่งคอลัมน์ในการแยกสารให้สมบูรณ์ โดยเฉพาะการแยกโมโนกลีเซอไรด์ กรดไขมันอิสระ และกรดไขมันเมทิลเอสเทอร์ ที่มีขนาดมวลโมเลกุลใกล้เคียงกัน Arzamendi และคณะ [17] ได้ใช้คอลัมน์แบบ Styragel ที่มีขนาดรูพรุน 100 Å 1 อัน ต่อกับ 500 Å 2 อัน แบบอนุกรมในการแยกสารประกอบในไบโอดีเซล คอลัมน์ที่ต่อกันนี้สามารถแยกกรดไขมันอิสระ bound glycerols และกลีเซอรอลอิสระได้ดีขึ้น สามารถแยกโมโนกลีเซอไรด์ และกรดไขมันเมทิลเอสเทอร์ได้ถึงเส้นฐาน แต่ไม่สามารถแยกไตรกลีเซอไรด์และไดกลีเซอไรด์ได้สมบูรณ์

คณะกรรมการมาตรฐานอเมริกา (American Standard Test Method Committee) และ คณะกรรมการมาตรฐานยุโรป (European standard committee) ได้กำหนดให้ใช้แก๊สโครมาโตกราฟีแบบอุณหภูมิสูง (High Temperature - Gas Chromatography) เพื่อวิเคราะห์เอกลักษณ์และปริมาณขององค์ประกอบไบโอดีเซล ได้แก่ bound glycerols และกรดไขมันเมทิลเอสเทอร์ วิธีนี้จะต้องเปลี่ยนสารตัวอย่างให้อยู่ในรูปอนุพันธ์ผ่านปฏิกิริยา silylation ก่อนฉีดสารเข้าเครื่อง High Temperature GC ส่วนการหาปริมาณของกรดไขมันอิสระจะใช้วิธีการไตเตรด ทำให้เวลาที่ใช้ในการวิเคราะห์นานมาก [18-21]

การใช้ HPSEC ในการวิเคราะห์องค์ประกอบในไบโอดีเซลมีข้อดีหลายประการ แต่จะให้การแยกได้ดีสมบูรณ์ จำเป็นต้องใช้คอลัมน์มากกว่าหนึ่งคอลัมน์มาต่อกันแบบอนุกรม จึงทำให้สิ้นเปลืองและเสียเวลาในการวิเคราะห์ ดังนั้นในงานวิจัยนี้เป็นการนำเสนอวิธี HPSEC ที่ใช้คอลัมน์

phenogel เพียงคอลัมน์เดียว และมีภูมิภาคเคลื่อนที่เป็นสารละลายผสม สามารถแยกสารประกอบในไบโอดีเซลที่ได้จากแอซิดออยล์จากน้ำมันรำข้าว คือโมโนกลีเซอไรด์ ไดกลีเซอไรด์ ไตรกลีเซอไรด์ กรดไขมันเอทิลเอสเทอร์ และกรดไขมันอิสระ ได้ถึงเส้นฐาน

## 2. วัสดุอุปกรณ์และวิธีการดำเนินการทดลอง

### 2.1 วัสดุ

แอซิดออยล์จากน้ำมันรำข้าว ได้รับความอนุเคราะห์จากบริษัทน้ำมันบริโภคไทย สารมาตรฐาน Tripalmitoyl glycerol, 1,2-dipalmitoyl glycerol, 1(3)-monopalmitoyl glycerol และ กรดปาล์มิติก จากบริษัท ซิกมาเคมิคัล จำกัด (เซนทูลส์ ประเทศสหรัฐอเมริกา) กรดซัลฟูริก และโซเดียมซัลเฟต จากบริษัท Merck ประเทศเยอรมัน ตัวทำละลายอินทรีย์ เกรด HPLC จากบริษัท แพลสแกน จำกัด (ประเทศไทย)

### 2.2 การเตรียมเอทิลเอสเทอร์ของแอซิดออยล์จากน้ำมันรำข้าว

เอทิลเอสเทอร์ของแอซิดออยล์เตรียมโดยใช้กรดซัลฟูริก 0.5 M ในเอทานอล กับแอซิดออยล์จากน้ำมันรำข้าว ในอัตราส่วนของน้ำมันต่อเอทานอล คือ 1:25, 1:60, 1:120, 1:240 และ 1:480 นำไปแช่ในอ่างน้ำควบคุมอุณหภูมิที่ 75 องศาเซลเซียส โดยมีการกวนตลอดการทดลอง และเก็บสารตัวอย่างทุกๆ 1, 5, 10, 20, 30, 45 และ 60 นาที เติมโทลูอีนเพื่อเจือจางสารตัวอย่าง จากนั้นล้างสารตัวอย่างด้วยน้ำ 2-3 ครั้ง เพื่อกำจัดกรดซัลฟูริกส่วนเกิน และทำให้แห้งด้วยโซเดียมซัลเฟต สารตัวอย่างพร้อมที่จะวิเคราะห์ด้วยโครมาโตกราฟีสมรรถนะสูงแบบแยกตามขนาด (HPSEC)

### 2.3 โครมาโตกราฟีแรงดันสูงแบบแยกตามขนาด

เครื่องโครมาโตกราฟีของเหลวสมรรถนะสูงแบบแยกตามขนาด ประกอบด้วย six port injector รุ่น 7125 ปริมาตรของ loop 20 ไมโครลิตร ของบริษัท Rheodyne Incorporated (ประเทศสหรัฐอเมริกา) บั๊ม รุ่น 510 ของบริษัท Water Associates (ประเทศสหรัฐอเมริกา) คอลัมน์แบบแยกตามขนาด Phenogel 100 Å (300 mm x 7.8

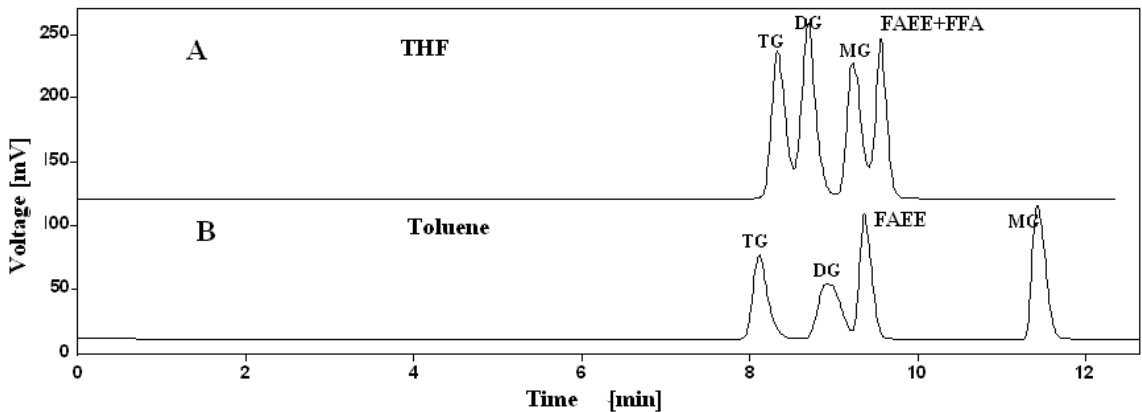
mm ID, 5µm) ของบริษัท Phenomenex (ประเทศสหรัฐอเมริกา) ตัวตรวจวัดแบบ Evaporative Light Scattering รุ่น Sedex 55 ของบริษัท SEDERE (ประเทศฝรั่งเศส) อุณหภูมิของตัวตรวจวัด 30 องศาเซลเซียส ความดันของ Air คือ 2 บาร์ ข้อมูลจากตัวตรวจวัดถูกเก็บและประมวลผลด้วย CSW32 HPLC software จากบริษัท DataApex Ltd (ประเทศสาธารณรัฐเชค) วัฏภาคเคลื่อนที่ดังแสดงในผลการทดลอง

### 3. ผลการทดลองและวิจารณ์

#### 3.1 การเปรียบเทียบการแยกสารมาตรฐานกรดไขมันอิสระ ไตร- ได- และโมโนกลีเซอไรด์ และกรดไขมันเอทิลเอสเทอร์ ที่มีตัวทำละลายเตตระไฮโดรฟูแลนเชิงเดี่ยวและตัวทำละลายโทลูอินเชิงเดี่ยวเป็นวัฏภาคเคลื่อนที่

เตตระไฮโดรฟูแลน (THF) และโทลูอิน เป็นสารละลายอินทรีย์ที่นิยมใช้เป็นวัฏภาคเคลื่อนที่สำหรับโครมาโตกราฟีแบบแยกตามขนาดที่มีวัฏภาคหนึ่งเป็นสารโพลิเมอร์ผสมระหว่าง vinyl-divinyl benzene เนื่องจากโพลิเมอร์ชนิดนี้สามารถพองตัวได้ดีใกล้เคียงกันในตัวละลายทั้งสองชนิดข้างต้น สำหรับการแยก bound

glicerols และเมทานอล ในผลิตภัณฑ์ไบโอดีเซล โดยวิธี HPSEC ส่วนใหญ่จะใช้ THF เป็นวัฏภาคเคลื่อนที่ [16, 17] รูปที่ 1A แสดงโครมาโตแกรมของสารมาตรฐานไตรกลีเซอไรด์ ไดกลีเซอไรด์ โมโนกลีเซอไรด์ กรดไขมันอิสระ และกรดไขมันเอทิลเอสเทอร์ บนคอลัมน์ phenogel 100 Å ที่มี THF เป็นวัฏภาคเคลื่อนที่ พบว่าการแยกสารส่วนใหญ่ไม่ถึงเส้นฐาน และกรดไขมันอิสระกับกรดไขมันเอทิลเอสเทอร์จะถูกชะออกมาพร้อมกัน จากข้อมูลที่ได้จากบริษัทผลิตคอลัมน์ว่าโทลูอินเป็นสารละลายที่ให้คุณสมบัติการบวมตัวของวัฏภาคหนึ่งใกล้เคียงกับ THF ดังนั้นจึงได้มีการลองใช้โทลูอินเป็นวัฏภาคเคลื่อนที่ พบว่าค่าเวลาคงค้างของไตรกลีเซอไรด์ และกรดไขมันเอทิลเอสเทอร์ไม่เปลี่ยนแปลง แต่ค่าเวลาคงค้างของไดกลีเซอไรด์ และโมโนกลีเซอไรด์ จะสูงขึ้น และสารทุกตัวสามารถแยกออกจากกันถึงเส้นฐาน ยกเว้นพีคของไดกลีเซอไรด์ที่ขยับมาใกล้พีคของกรดไขมันเอทิลเอสเทอร์มากขึ้น ทำให้การแยกสารทั้งสองไม่ถึงเส้นฐาน ดังแสดงในรูปที่ 1B. ผลการแยกสารด้วยสภาวะข้างต้นมีความใกล้เคียงกับผลการแยกสารโดยใช้คอลัมน์ styragel ที่มีขนาดรูพรุนต่างกัน 3 คอลัมน์ต่อแบบอนุกรม และมีวัฏภาคหนึ่งเป็น THF ของ Arzamendi และคณะ [17]

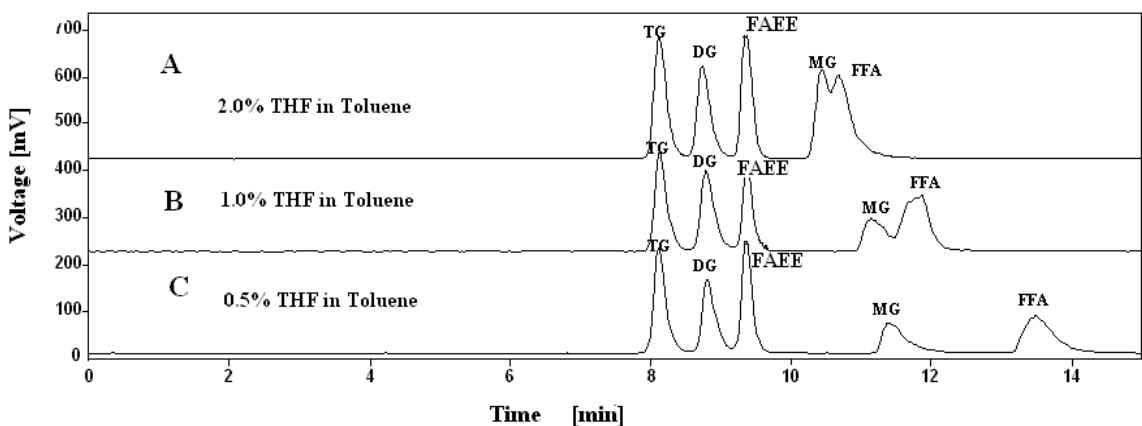


รูปที่ 1 โครมาโตแกรมของสารมาตรฐาน TG, DG, MG, FAEE และ FFA ความเข้มข้น 0.5 มิลลิกรัม ในโทลูอิน ที่มี ELSD เป็นตัวตรวจวัด (A) 100% THF เป็นวัฏภาคเคลื่อนที่ (B) 100% toluene เป็นวัฏภาคเคลื่อนที่ TG = ไตรกลีเซอไรด์, DG = ไดกลีเซอไรด์, MG = โมโนกลีเซอไรด์, FAEE = กรดไขมันเอทิลเอสเทอร์, FFA = กรดไขมันอิสระ

เมื่อพิจารณาถึงโครงสร้างของโมเลกุลของสารทั้งหมดและผลการแยกนั้น พบว่าเมื่อเปลี่ยนวัฏภาคเคลื่อนที่จาก THF เป็นโทลูอีน ทำให้ค่าเวลาคงค้างของไตรกลีเซอไรด์และโมนอกลิเซอไรด์สูงขึ้น น่าจะมีความเกี่ยวข้องกับหมู่ไฮดรอกซิลบนโมเลกุลของสารทั้งสองไม่โดยตรง ก็โดยทางอ้อม เนื่องจากโมเลกุลของไตรกลีเซอไรด์และโมนอกลิเซอไรด์ มีหมู่ไฮดรอกซิลอิสระอยู่หนึ่งและสองหมู่ ตามลำดับ แต่ไตรกลีเซอไรด์และกรดไขมันเอทิลเอสเทอร์ซึ่งไม่มีหมู่ไฮดรอกซิลอยู่ในโมเลกุลนั้นเวลาคงค้างไม่เปลี่ยนแปลง ดังนั้น การที่ไตรกลีเซอไรด์และโมนอกลิเซอไรด์คงค้างอยู่ในคอลัมน์นานขึ้นเมื่อใช้โทลูอีนเป็นตัวชะ อาจเนื่องมาจากอันตรกิริยา (interaction) ระหว่างหมู่ไฮดรอกซิลกับเจลของวัฏภาคนี้ ซึ่งแรงของอันตรกิริยานี้ จะแข็งแรงกว่าแรงของอันตรกิริยาระหว่างโทลูอีนกับเจล แต่อ่อนกว่าแรงของอันตรกิริยาระหว่าง THF กับเจล ยิ่งกว่านั้นพบว่า การเปลี่ยนแปลงค่าเวลาคงค้างของโมนอกลิเซอไรด์ ที่มีหมู่ไฮดรอกซิล 2 หมู่ จะมากกว่าในไตรกลีเซอไรด์ ซึ่งมีหมู่ไฮดรอกซิลเพียงหมู่เดียว ถ้าสิ่งที่กล่าวมาข้างต้นถูกต้อง ก็น่าจะแยกสารประกอบในไบโอดีเซลได้โดยการใช้อัลบั้มเพียงคอลัมน์เดียว ดังนั้น การทดลองจึงออกแบบโดยใช้ตัวทำละลายผสมระหว่างโทลูอีนกับ THF ที่อัตราส่วนต่างๆ

### 3.2 การแยกสารมาตรฐานกรดไขมันอิสระ ไตร โด และโมนอกลิเซอไรด์ และกรดไขมันเอทิลเอสเทอร์ ที่มีตัวทำละลายผสมระหว่างเตตระไฮโดรฟูแลนและโทลูอีนที่อัตราส่วนต่างๆ เป็นวัฏภาคเคลื่อนที่

สารละลายผสมระหว่างโทลูอีนกับ THF ที่มีปริมาณของ THF สูงกว่าร้อยละ 2 (v/v) สามารถแยก bound glycerols และกรดไขมันเอทิลเอสเทอร์ได้ แต่ถ้าสารตัวอย่างมีกรดไขมันอิสระอยู่ด้วย กรดไขมันอิสระจะไม่สามารถแยกออกจากโมนอกลิเซอไรด์ได้ ดังแสดงในรูปที่ 2A และจะไม่สามารถเห็นพีคของกรดไขมันอิสระทั้งในกรณีที่ใช้ THF ร้อยละ 0 และร้อยละ 100 (ดังรูปที่ 1) ดังที่กล่าวมาแล้วข้างต้น คือ การใช้ THF ร้อยละ 100 ทำให้วัฏภาคเคลื่อนที่มีความเป็นขั้วสูงมาก กรดไขมันอิสระจะถูกชะออกมาพร้อมกับโมนอกลิเซอไรด์ และเมื่อใช้โทลูอีนร้อยละ 100 พบว่าความเป็นขั้วของวัฏภาคเคลื่อนที่ก็น้อยเกินกว่าจะสามารถชะกรดไขมันอิสระออกจากคอลัมน์สำหรับสารละลายผสม THF ในโทลูอีน ร้อยละ 1 สามารถใช้เป็นวัฏภาคเคลื่อนที่ได้ (ดังรูปที่ 2B) แต่สารละลายผสม THF ในโทลูอีนร้อยละ 0.5 ให้ผลการแยกที่ดีกว่า (ดังรูปที่ 2C)

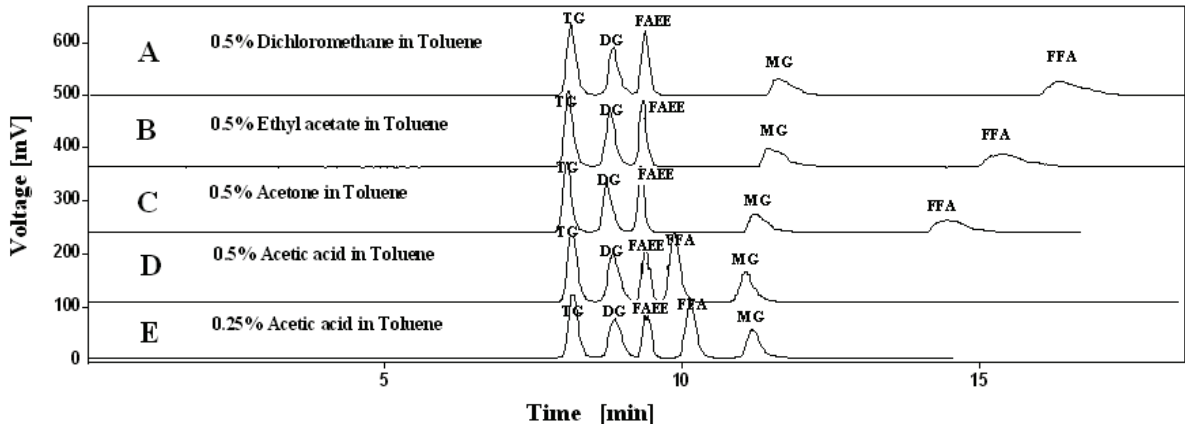


**รูปที่ 2** โครมาโตแกรมของสารมาตรฐาน TG, DG, MG, FAEE และ FFA ในวัฏภาคเคลื่อนที่ผสมของโทลูอีนกับ THF ในอัตราส่วนต่างๆ กันคือ (A) = THF ร้อยละ 2.0, (B) = THF ร้อยละ 1.0 และ (C) = THF ร้อยละ 0.5  
TG = ไตรกลีเซอไรด์, DG = ไดกลีเซอไรด์, MG = โมนอกลิเซอไรด์,  
FAEE = กรดไขมันเอทิลเอสเทอร์, FFA = กรดไขมันอิสระ

### 3.3 การแยกสารมาตรฐานกรดไขมันอิสระ ไตร โด และโมนอกลิเซอไรด์ และกรดไขมัน เอทิลเอสเทอร์ที่มีตัวทำละลายอินทรีย์ชนิด อื่นๆ ผสมในโพลูอินเป็นวัฏภาคเคลื่อนที่

Bergmann และคณะ [22] ได้รายงานผลของ สารละลายในโครมาโตกราฟีแบบแยกตามขนาด โดยพบว่าโพลูอินนั้นมีผลต่ออันตรกิริยาระหว่างสารอะโรมาติก กับโพลีเมอร์ (polystyrene-divinyl benzene) แต่การ ศึกษานี้เป็นผลของ THF ต่อการชะสารไดกลีเซอไรด์ โมนอกลิเซอไรด์ และกรดไขมันอิสระซึ่งมีความน่าสนใจ เนื่องจาก THF จะมีผลต่อสารมีขั้วที่มีหมู่ไฮดรอกซีอิสระ หรือกรดคาร์บอกซิลิก เมื่อทดสอบตัวทำละลายชนิดอื่น ได้แก่ ไดคลอโรมีเทน เอทิลอะซิเตด และอะซิโตน ที่มี ค่าดัชนีความเป็นขั้ว (polarity index) 3.1, 4.4 และ 5.1 ตามลำดับ (THF มีค่าเท่ากับ 4.0) ผสมกับโพลูอิน พบว่า เวลาจะลดลงเมื่อค่าดัชนีความเป็นขั้วมีค่าเพิ่มขึ้นดังรูปที่ 3 (A-C) แสดงให้เห็นว่าเมื่อเปรียบเทียบกับ THF ที่มีค่า เท่ากับ 4.0 ซึ่งมีค่าดัชนีความเป็นขั้วต่ำกว่าอะซิโตน (5.1) และเอทิลอะซิเตด (4.4) แต่สามารถชะกรดไขมันอิสระ ออกจากคอลัมน์ได้เร็วกว่าสารทั้งสอง ดังนั้นกลไกการชะ สารใน phenogel ไม่ได้ขึ้นกับขนาดของโมเลกุลของสาร และค่าดัชนีความเป็นขั้วของวัฏภาคนิ่ง ยังมีอันตรกิริยา ระหว่างตัวโพลีเมอร์กับส่วนที่เป็นขั้วของสารตัวอย่าง โดยเฉพาะหมู่ไฮดรอกซีและหมู่คาร์บอกซิลิก ซึ่งอาจรวมถึง พันธะไฮโดรเจนระหว่างโมเลกุลของสาร THF เป็นเบสอ่อน

Lewis จึงสามารถรับ acidic proton จากกรดไขมันอิสระ หรือแอลกอฮอล์ (กรดที่อ่อนมากๆ) ดังนั้นอันตรกิริยา ระหว่างกรดหรือแอลกอฮอล์ กับตัว Phenogel จึงน้อย มีผลให้สารถูกชะออกมาได้เร็ว สำหรับออกซิเจนบนหมู่ คาร์บอนิลของตัวทำละลายอื่นๆ เช่น เอทิลอะซิเตดและ อะซิโตนก็สามารถเกิดพันธะไฮโดรเจนกับสารตัวอย่างได้ แต่อะตอมไฮโดรเจนของคาร์บอนที่ตำแหน่งอัลฟาจะเป็น กรด ดังนั้นการที่มันจะรับ acidic proton จากโมเลกุลอื่น จะน้อยกว่า จากโครมาโตแกรมในรูปที่ 3 (A-C) สามารถ สรุปได้ว่าตัวทำละลายทุกตัว (ไดคลอโรมีเทน เอทิลอะซิเตด อะซิโตน และ THF) สามารถใช้เป็นตัวตัดแปลงในโพลูอิน เพื่อใช้แยกสารประกอบในไบโอดีเซล อย่างไรก็ตามการใช้ ตัวทำละลายที่กล่าวมาข้างต้นส่งผลให้พีคไม่สมมาตร พีคของกรดไขมันอิสระเกิดทางพีคสูง ซึ่งเป็นผลมาจาก อันตรกิริยาระหว่างหมู่คาร์บอกซิลิกกับตัว Phenogel แต่ เมื่อใช้ร้อยละ 0.5 กรดอะซิติก (รูปที่ 3D) พบว่าทางพีค ของกรดไขมันอิสระหายไป และค่าเวลาคงค้างลดลงเป็น อย่างมาก กรดไขมันอิสระถูกชะออกมาหลังกรดไขมัน เอทิลเอสเทอร์เพียงเล็กน้อย แต่ลำดับการชะของ โมนอกลิเซอไรด์กับกรดไขมันอิสระจะสลับกัน เมื่อลดความ เข้มข้นของกรดอะซิติกลงเหลือร้อยละ 0.25 (รูปที่ 3E) พบ ว่าสามารถแยกกรดไขมันเอทิลเอสเทอร์ และกรดไขมัน อิสระได้ดีขึ้น ซึ่งจะเป็นผลดีต่อการวิเคราะห์สารตัวอย่าง ไบโอดีเซลที่มีปริมาณของกรดไขมันเอทิลเอสเทอร์สูงมากๆ



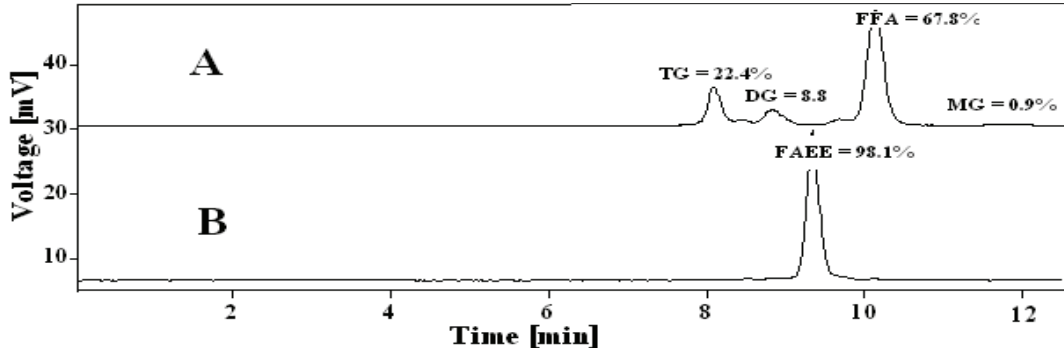
**รูปที่ 3** โครมาโตแกรมของสารมาตรฐาน TG, DG, MG, FAEE และ FFA เมื่อใช้วัฏภาคเคลื่อนที่ที่ประกอบด้วยโทลูอีน และไดคลอโรมีเทนร้อยละ 0.5 (A), เอทิลอะซิเตตร้อยละ 0.5 (B), อะซิโตนร้อยละ 0.5 (C), กรดอะซิติกร้อยละ 0.5 (D) และ กรดอะซิติกร้อยละ 0.25 (E)  
 TG = ไตรกลีเซอไรด์, DG = ไดกลีเซอไรด์, MG = โมโนกลีเซอไรด์,  
 FAEE = กรดไขมันเอทิลเอสเทอร์, FFA = กรดไขมันอิสระ

### 3.4 การหาปริมาณของไบโอดีเซลที่ได้จาก แอซิดออยล์จากน้ำมันรำข้าว

ในงานทดลองนี้ได้ใช้กรดเป็นตัวเร่งปฏิกิริยา เนื่องจากแอซิดออยล์มีกรดไขมันอิสระเป็นองค์ประกอบสูงถึงร้อยละ 68 (รูปที่ 4A) ถ้าใช้ต่างเป็นตัวเร่ง กรดไขมันอิสระจะถูกเปลี่ยนเป็นสบู่แทนที่จะถูกเปลี่ยนเป็นเอสเทอร์ของกรดไขมัน (ไบโอดีเซล) สำหรับกรดนั้นสามารถใช้เป็นตัวเร่งปฏิกิริยาทั้งเอสเทอร์ฟิเคชัน และทรานเอสเทอร์ฟิเคชัน ดังนั้นทั้งกรดไขมันอิสระและไตรกลีเซอไรด์ในแอซิดออยล์ สามารถถูกเปลี่ยนเป็นเอสเทอร์ของกรดไขมันในเวลาเดียวกัน นอกจากชนิดของตัวเร่งปฏิกิริยาแล้ว

ปริมาณของแอลกอฮอล์ที่ใช้ก็มีผลต่ออัตราเร็วของปฏิกิริยาเช่นกัน ดังนั้นในงานทดลองนี้ได้ใช้อัตราส่วนของกรดไขมันอิสระต่อเอทิลแอลกอฮอล์ต่างๆ กันคือ 1:25 1:60 1:120 1:240 และ 1:480 และอุณหภูมิที่ใช้คือ 75°C พบว่าอัตราการเกิดไบโอดีเซลจะเพิ่มขึ้น เมื่อปริมาณแอลกอฮอล์ในปฏิกิริยาเพิ่มขึ้น ดังแสดงในตารางที่ 1 และรูปที่ 5 ซึ่งสอดคล้องกับรายงานการศึกษาผลของปริมาณแอลกอฮอล์ต่ออัตราเร็วของการเกิดปฏิกิริยาทรานเอสเทอร์ฟิเคชันในน้ำมันจากเมล็ดทานตะวันด้วยกรดซัลฟูริกของ Siler-Marinkovic และคณะ [23] ที่พบว่าอัตราเร็วของปฏิกิริยาจะสูงขึ้นเมื่อปริมาณแอลกอฮอล์เพิ่มขึ้น

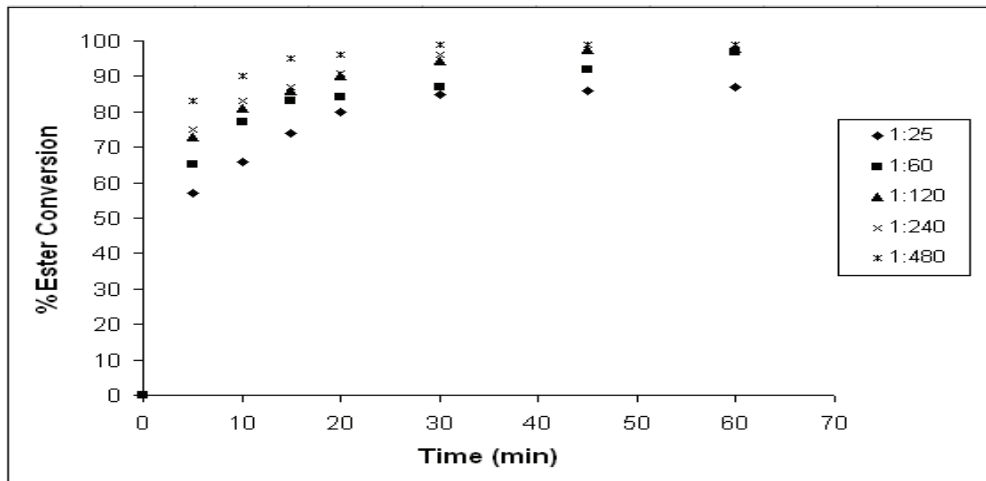




รูปที่ 4 โครมาโตแกรมของแอสิดออยล์จากน้ำมันรำข้าว (A) และ ไบโอดีเซลที่อัตราส่วนของอัตราส่วนกรดไขมันอิสระต่อเอทานอล เท่ากับ 1:480 เวลา 30 นาที และอุณหภูมิ 75°C (B) ในวัฏภาคเคลื่อนที่ที่ประกอบด้วยโทลูอีนและกรดอะซิติกร้อยละ 0.25

TG = ไตรกลีเซอไรด์, DG = ไดกลีเซอไรด์, MG = โมโนกลีเซอไรด์,

FAEE = กรดไขมันเอทิลเอสเทอร์, FFA = กรดไขมันอิสระ



รูปที่ 5 ผลของอัตราส่วนโมลาร์ของกรดไขมันอิสระต่อเอทานอลกับร้อยละการเปลี่ยนเป็นเอสเทอร์ของแอสิดออยล์จากน้ำมันรำข้าวโดยมีกรดซัลฟูริกเป็นตัวเร่งปฏิกิริยาที่อุณหภูมิ 75 °C

**ตารางที่ 1** เเปอร์เซ็นต์ของไตรกลีเซอไรด์ โดกลีเซอไรด์ โมโนกลีเซอไรด์ กรดไขมันอิสระ และ กรดไขมันเอทิลเอสเทอร์ ที่ได้จากปฏิกิริยาแอลกอฮอล์ไลซิส เมื่อใช้อัตราส่วนโมลาร์ ของกรดไขมันอิสระและเอทานอลต่างๆ คือ 1:25 1:60 1:120 1:240 และ 1:480

Ratio	Time (min)	%				
		TG	DG	MG	FFA	FAEE
<b>Acid oil</b>	<b>0</b>	<b>22.4</b>	<b>8.8</b>	<b>0.9</b>	<b>67.8</b>	<b>0</b>
1:25	5	19.3	9.2	ND	14.8	56.7
	10	19.0	8.4	ND	6.1	66.5
	15	15.2	7.4	ND	3.4	74.0
	20	12.2	7.0	ND	3.0	77.8
	30	8.1	6.4	ND	2.8	82.7
	45	6.2	5.1	ND	1.5	87.2
	60	5.4	3.2	ND	1.1	90.3
1:60	5	18.0	5.2	ND	5.2	71.7
	10	17.1	4.5	ND	1.8	76.6
	15	13.3	3.9	ND	1.5	81.3
	20	11.3	3.7	ND	1.4	83.6
	30	10.0	2.0	ND	1.4	86.6
	45	5.7	1.5	ND	1.1	91.7
	60	2.3	0.5	ND	ND	97.2
1:120	5	17.3	5.0	ND	2.3	75.4
	10	14.5	4.5	ND	1.0	80.0
	15	10.2	3.3	ND	ND	86.5
	20	7.3	2.6	ND	ND	90.1
	30	3.8	1.7	ND	ND	94.5
	45	1.5	0.7	ND	ND	97.8
	60	1.4	0.5	ND	ND	98.1
1:240	5	15.4	4.2	ND	ND	80.4
	10	13.3	3.8	ND	ND	82.9
	15	9.8	3.2	ND	ND	87.0
	20	6.2	2.6	ND	ND	91.2
	30	2.9	1.4	ND	ND	95.7
	45	ND	1.0	ND	ND	99.0
	60	ND	0.9	ND	ND	99.1

TG = ไตรกลีเซอไรด์, DG = โดกลีเซอไรด์, MG = โมโนกลีเซอไรด์, FAEE = กรดไขมันเอทิลเอสเทอร์,  
FFA = กรดไขมันอิสระ, ND = no detected

**ตารางที่ 1 (ต่อ)** เเปอร์เซ็นต์ของไตรกลีเซอไรด์ โดกลีเซอไรด์ โมโนกลีเซอไรด์ กรดไขมันอิสระ และกรดไขมันเอทิลเอสเทอร์ ที่ได้จากปฏิกิริยาแอลกอฮอล์ไลซิส เมื่อใช้อัตราส่วน โมลาร์ของกรดไขมันอิสระและเอทานอลต่างๆ คือ 1:25 1:60 1:120 1:240 และ 1:480

Ratio	Time (min)	%				
		TG	DG	MG	FFA	FAEE
Acid oil	0	22.4	8.8	0.9	67.8	0
1:480	5	13.8	3.6	ND	ND	82.6
	10	9.8	2.1	ND	ND	88.1
	15	5.4	1.9	ND	ND	92.7
	20	4.3	1.3	ND	ND	94.4
	30	1.1	0.8	ND	ND	98.1
	45	ND	0.5	ND	ND	99.5
	60	ND	0.5	ND	ND	99.5

TG = ไตรกลีเซอไรด์, DG = โดกลีเซอไรด์, MG = โมโนกลีเซอไรด์, FAEE = กรดไขมันเอทิลเอสเทอร์,

FFA = กรดไขมันอิสระ, ND = no detected

สำหรับที่อัตราส่วนกรดไขมันอิสระต่อเอทิลแอลกอฮอล์ 1:480 จะให้ผลผลิตไบโอดีเซลประมาณร้อยละ 98 ภายในเวลา 30 นาที (รูปที่ 4B) เมื่อเทียบกับผลของ Hass และคณะ [8] ที่ใช้อัตราส่วนของกรดไขมันอิสระต่อเมทานอลต่อกรดซัลฟูริก เท่ากับ 1:15:1.5 ซึ่งได้ผลผลิตเพียงร้อยละ 85 โดยใช้เวลาในการทำปฏิกิริยาถึง 26 ชั่วโมง พบว่าผลผลิตที่ได้สูงกว่า และเวลาที่ใช้ในการทำปฏิกิริยาก็น้อยกว่าด้วย ซึ่งอาจเนื่องมาจากชนิดของแอลกอฮอล์ที่ใช้ต่างกัน ในการทดลองนี้ใช้เอทานอลซึ่งแอซิดออยล์น่าจะสามารถละลายเป็นเนื้อเดียวกันได้ดีกว่าในเมทานอล [24] และมีการใช้เอทานอลในปริมาณที่สูงกว่า แม้จะมีการใช้ปริมาณเอทานอลสูงมาก แต่เอทานอลนั้นสามารถระเหยออกและนำกลับมาใช้ใหม่ได้

ตารางที่ 1 ยังแสดงให้เห็นว่าการเกิดปฏิกิริยาเอสเทอร์ฟิเคชันของกรดไขมันอิสระจะเร็วกว่าปฏิกิริยาทรานเอสเทอร์ฟิเคชันของไตรกลีเซอไรด์ ที่ทุกๆ อัตราส่วนของแอลกอฮอล์ เนื่องจากความสามารถในการละลายของกรดไขมันอิสระในแอลกอฮอล์สายสั้นทั้งเมทิลและเอทิลแอลกอฮอล์น่าจะดีกว่าไตรกลีเซอไรด์ [25]

#### 4. สรุปผลการทดลอง

สามารถใช้ HPSEC ในการแยกสารไตร- ได- และ โมโนกลีเซอไรด์ (bound glycerols) กรดไขมันเอทิลเอสเทอร์ และกรดไขมันอิสระ ได้ถึงเส้นฐาน นอกจากขนาดโมเลกุลของสารแล้วยังมีปัจจัยอื่นที่เกี่ยวข้องกับกลไกการแยกสารใน Phenogel HPSEC ได้แก่ การดูดซับระหว่างหมู่คาร์บอนซิลิกและหมู่ไฮดรอกซีของสารตัวอย่างกับโพลีเมอร์ที่ใช้เป็นวัสดุภาคนึง ซึ่งสามารถลดแรงกระทำดังกล่าวได้โดยการเติมตัวทำละลายที่มีความเป็นขั้วสูงลงในวัสดุภาคนั้นที่เชิงเดี่ยว ดังนั้นโกลูอินที่ผสมกับตัวทำละลายมีขั้วจะสามารถแยกสารประกอบไบโอดีเซลได้ดีกว่าการใช้โกลูอิน หรือ THF เชิงเดี่ยว

โกลูอินผสมกรดอะซิติกร้อยละ 0.25 เป็นวัสดุภาคนั้นที่ดีที่สุด และถูกนำมาใช้ในการวิเคราะห์ทางองค์ประกอบในไบโอดีเซลจากแอซิดออยล์จากรำข้าว พบว่าสามารถผลิตไบโอดีเซลจากแอซิดออยล์โดยใช้กรดเป็นตัวเร่งปฏิกิริยาแบบขั้นตอนเดียวได้ และผลผลิตที่ได้ขึ้นกับเวลาและอัตราส่วนโมลของกรดไขมันอิสระต่อเอทานอลที่ใช้ในการทำปฏิกิริยา

## 5. เอกสารอ้างอิง

1. Darnoko, D. and Chenryan, M., 2000, "Continuous Production of Palm Methyl Ester", *Journal of the American Oil Chemist's Society*, Vol. 77, pp. 1269-1272.
2. Krawczyk, U.R., 1996, "Biodiesel-Alternative Fuel Makes Inroads but Hurdles Remain", *Inform*, Vol. 7, pp. 801-829.
3. Hamasaki, K., Kinoshita, E.I., Tajima, H., Takasaki, K., and Morita, D., "Combustion Characteristics of Diesel Engines with Waste Vegetable Oil Methyl Ester", *The Fifth International Symposium on Diagnostics and Modeling of Combustion in Internal Combustion Engine (COMODIA 2001)*, 2001, Nagoya, Japan, pp. 410-419.
4. Bozbas, K., 2005, "Biodiesel as an Alternative Motor Fuel: Production and Policies in the European Union", *Renewable and Sustainable Energy Reviews*, Vol. 12, pp. 542-552.
5. Muniyappa, P.R., Brammer, S.C., and Nouredini, H., 1996, "Improved Conversion of Plant Oils and Animal Fats into Biodiesel and Co-product", *Bioresource Technology*, Vol. 56, pp. 19-24.
6. Kulkarni, M.G., and Dalai, A. K., 2006, "Waste Cooking Oils: An Economical Source for Biodiesel: A Review", *Industrial & Engineering Chemistry Research*, Vol. 45, pp. 2901-2913.
7. Haas, M.J., 2005, "Improving the Economics of Biodiesel Production Through the Use of Low Value Lipids as Feedstocks: Vegetable Oil Soapstock", *Fuel Processing Technology*, Vol. 86, pp. 1087-1096.
8. Haas, M.J., Bloomer, S., and Scott, K., 2003, "Simple, High-Efficiency Synthesis of Fatty Acid Methyl Esters from Soapstock", *Journal of American Oil Chemist's Society*, Vol. 77, pp. 373-379.
9. Freedman, B.H., Pryde, E.H., and Mounts, T.L., 1984, "Variables Affecting the Yields of Fatty Esters from Transesterified Vegetable Oils", *Journal of American Oil Chemists's Society*, Vol. 61, pp. 1638-1643.
10. Plank, C., and Lorbeer, E., 1995, "Simultaneous Determination of Glycerol, and Mono-, Di- and Triglycerides in Vegetable Oil Methyl Esters by Capillary Gas Chromatography", *Journal of Chromatography A*, Vol. 697, pp. 461-468.
11. Marcato, B., and Cecchin, G., 1996, "Analysis of Mixtures Containing Free Fatty Acids and Mono-, Di- and Triglycerides by High-Performance Liquid Chromatography Coupled with Evaporative Light-Scattering Detection", *Journal of Chromatography A*, Vol. 730, pp. 83-90.
12. Holcapek, M., Jandera, P., Fischer, J., and Prokes, B., 1999, "Analytical Monitoring of the Production of Biodiesel by High-Performance Liquid Chromatography with Various Detection Methods", *Journal of Chromatography A*, Vol. 858, pp. 13-31.
13. Fillires, J.R., Benjelloum-Mlayan, B., and Delmas, M., 1995, "Ethanolysis of Rapeseed Oil: Quantitation of Ethyl Esters, Mono-, Di- and Triglycerides and Glycerol by High-Performance Size-Exclusion Chromatography", *Journal of American Oil Chemist's Society*, Vol. 72, pp. 427-432.
14. Lang, X., Dalai, A.K., Bakhshi, N.N., Reaney, M.J., and Hertz, P.B., 2001, "Preparation and Characterization of Bio-diesels from Various Bio-oils", *Bioresource Technology*, Vol. 80, pp. 53-62.
15. Schoenfelder, W., 2003, "Determination of Monoglycerides, Diglycerides, Triglycerides and Glycerol in Fats by Means of Gel Permeation Chromatography", *European Journal Lipid Science and Technology*, Vol. 105, pp. 45-48.
16. Krinangkura, K., and Simamaharnnop, R.,

- 1992, "Continuous Transmethylation of Palm Oil in an Organic Solvent", *Journal of American Oil Chemists' Society*, Vol. 69, pp. 166-169.
17. Arzamendi, G., Arguinarena, E., Campo, I.M., and Gandia, L., 2006, "Monitoring of Biodiesel Production: Simultaneous Analysis of the Transesterification Products Using Size Exclusion Chromatography", *Chemical Engineering Journal*, Vol. 122, pp. 31-40.
18. Foglia, T.A., Jones, K.C., Nunez, A., Phillips, J.G., and Mittelbach, M., 2004, "Comparison of Chromatographic Methods for the Determination of Bound Glycerol in Biodiesel", *Chromatographia*, Vol. 60, pp. 305-311.
19. Plank, C., and Lorbeer, E., 1992, "Quality Control of Vegetable Oil Methyl Esters Used as Diesel Fuel Substitutes: Quantitative Determination of Mono-, Di and Triglycerides by Capillary GC", *Journal of High Resolution Chromatography*, Vol. 16, pp. 609-612.
20. Vicente, G., Martinez, M., and Aracil, J., 2005, "Optimization of Brassica crinata Oil Methanolysis for Biodiesel Production", *Journal of American Oil Chemists' Society*, Vol. 82, pp. 899-904.
21. Lee, K.T., Foglia, T.A., and Chang, K.S., 2002, "Production of Alkyl Ester as Biodiesel from Fractionated Lard and Restaurant Grease", *Journal of American Oil Chemists' Society*, Vol. 79, pp. 191-195.
22. Bergman, J.G., and Duffy, L.J., 1971, "Solvent Effects in Gel Permeation Chromatography", *Analytical Chemistry*, Vol. 43, pp. 131-133.
23. Siler-Marinkovic, S., and Tomasevic, A., 1998, "Transesterification of Sunflower Oil in Situ", *Fuel*, Vol. 77, pp. 1389-1391.
24. Feuge, R.O., and Gros, A.T., 1950, "Modification of Vegetable Oils. IX. Purification of Technical Monoglycerides", *Journal of American Oil Chemists' Society*, Vol. 27, pp. 117-122.
25. Kusdiana, D., and Saka, S., 2001, "Kinetics of Transesterification in Rapeseed Oil to Biodiesel Fuel as Treated in Supercritical Methanol", *Fuel*, Vol. 80, pp. 693-698.